

У 27 больных сахарные кривые были нормальной конфигурации и величины, у остальных 47 были выявлены 4 основных варианта патологических сахарных кривых. 1-й вариант сахарной кривой, установленный у 8 больных, характеризуется двугорбым типом с подъемом первой и второй ее части, с высоким гипергликемическим коэффициентом в первом подъеме, превышающим второй гипергликемический коэффициент или равным ему. Эти данные свидетельствуют о нарушении гликогенообразовательной функции печени и одновременном угнетении внутрисекреторной функции поджелудочной железы, о чем говорит высокий второй подъем гипергликемии.

2-й вариант (8 больных) характеризуется двугорбыми кривыми, в которых второй подъем гипергликемии нередко превышал первый. Превышение второго гипергликемического коэффициента над первым свидетельствует о еще большем угнетении инкреторной функции поджелудочной железы у больных этой группы по сравнению с первой.

К 3-му варианту отнесены сахарные кривые с высоким вторым гипергликемическим подъемом, значительно превышающим первый (7 больных). Эти кривые свидетельствуют о выраженным угнетении инсулярного аппарата и могут считаться псевдодиабетическими.

Наконец, к 4-му варианту мы отнесли одногорбые сахарные кривые с подъемом в первой части и отсутствием подъема во второй. Такие сахарные кривые определены у 24 больных. Здесь нужно отметить, что даже первый подъем у большинства больных был невысоким, у 3 больных он совсем отсутствовал и у некоторых уровень сахара крови оказался ниже исходной величины. Второй подъем уровня сахара крови отсутствовал у всех больных, и в дальнейшем содержание сахара носило характер монотонной гипогликемии до конца исследования. Такой характер сахарных кривых говорит о функциональном нарушении поджелудочной железы, связанном с гиперпродукцией инсулина.

Таким образом, у детей, больных эпидемическим паротитом, найдены нарушения не только внешнесекреторной, но и инкреторной функции поджелудочной железы. Выявленные у 47 больных детей (63,5%) нарушения инкреторной функции поджелудочной железы выразились у 23 из них в угнетении инсулярного аппарата различной степени, а у 24 — в раздражении инсулярного аппарата. В наших наблюдениях гиперпродукция инсулина (4-й тип сахарной кривой) установлена у детей с четкими симптомами острого панкреатита, с более стойкой и выраженной диастазуреей.

УДК 611.36

## АРХИТЕКТОНИКА И ТОПОГРАФИЯ ВНУТРИПЕЧЕНОЧНЫХ ЖЕЛЧНЫХ ПУТЕЙ В РАННЕМ ДЕТСКОМ ВОЗРАСТЕ

М. С. Арбузова, Г. И. Сонголов

Кафедра оперативной хирургии с топографической анатомией (зав.— проф. В. Х. Фраучи)  
Казанского ордена Трудового Красного Знамени медицинского института  
им. С. В. Курашова

Наложение билиодigestивных анастомозов у новорожденных (при атрезии желчевыводящих путей), выполнение резекции печени у детей более старшего возраста и других оперативных вмешательств у этого же контингента больных требуют знания архитектоники желчевыводящих путей и их взаиморасположения с другими трубчатыми структурами как в самой печени, так и вне ее.

В настоящей работе дан анализ строения и топографии желчевыводящих путей 67 детей (25 новорожденных, 26 детей грудного возраста и 16 детей от 10 мес. до 3 лет<sup>1</sup>), погибших от причин, не связанных с заболеваниями или повреждениями печени. Использованы методы анатомической препаратовки и коррозии. Кровеносные сосуды мы наливали акриловыми смолами, желчные пути — латексом. Коррозию производили в 70% растворе соляной кислоты.

К моменту рождения количество сегментарных ветвей и типы формирования печеночных протоков те же, что и у взрослых. Поэтому в работе нами использована схема деления печени на сегменты по Куиноду (1957).

Классическое формирование общего печеночного протока при слиянии левого и правого печеночных протоков мы нашли на 36 препаратах. Всего же дихотомическое формирование общего печеночного протока встретилось на 47 препаратах, но в 11 из них правый печеночный проток отсутствовал, и его заменял один из секторальных протоков правой доли печени.

При дихотомическом типе формирования общего печеночного протока можно выделить 5 вариантов его формирования: 1-й — классическое слияние левого и пра-

<sup>1</sup> Систематизация материала произведена на основании возрастной схемы периодизации, принятой в 1965 г. на 7-й научной конференции по возрастной морфологии, физиологии и биохимии.

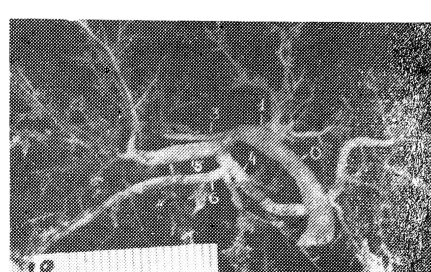
вого печеночных протоков; 2-й — слияние левого печеночного и правого парамедиального; 3-й — слияние левого печеночного с правым латеральным; 4-й — слияние левого печеночного протока с протоком 5-го сегмента; 5-й — слияние левого печеночного протока с общим протоком 6-го и 8-го сегментов.

На 18 препаратах общий печеночный проток формировался при слиянии 3 желчных каналов, расположенных в разных плоскостях. Этот триподиальный тип строения имел 6 вариантов.

Рассыпной тип строения общего печеночного протока встретился на 2 препаратах.

Чрезвычайно важными в практическом отношении являются случаи каудального смещения устьев секторальных и сегментарных протоков правой и левой половины печени на общий печеночный проток. На нашем материале в общий печеночный проток впадали: в 2 случаях левый парамедиальный, в 1 — правый латеральный проток и в 3 — проток 5-го сегмента.

Перемещения устьев внутриорганных протоков в каудальном направлении обычно комбинировались с транспозицией других секторальных или сегментарных протоков в латеро-латеральном направлении (рис. 1, а и б).



а

б

Рис. 1. Дистопия устьев желчных протоков 4-го (1), 5-го (2, 3) и 7-го (6) сегментов печени. Коррозионный препарат. Возраст — 50 дней.

а — вид с вентральной поверхности, б — вид с каудальной поверхности.

О — общий печеночный проток; 1 — проток 4-го сегмента; 2 — устье протока 5-го сегмента; 3 — проток 5-го сегмента; 4 — левый латеральный проток; 5 — общий проток 6-го и 8-го сегментов; 6 — проток 7-го сегмента.

Правый печеночный проток, обнаруженный на 42 препаратах, в 26 случаях формировался из правых парамедиального и латерального протоков. На остальных 16 препаратах отмечено большое разнообразие вариантов его формирования.

При отсутствии правого печеночного протока секторальные и сегментарные протоки правой доли печени либо принимали участие в формировании общего печеночного протока, либо впадали во внепеченочные желчные ходы, либо вливались в систему протоков левой половины печени.

Правый парамедиальный проток, формирующийся обычно при слиянии протоков 5-го и 8-го сегментов, был найден на 47 препаратах, а правый латеральный проток, образующийся при слиянии протоков 6-го и 7-го сегментов, — на 54, причем на 36 препаратах он принимал участие в формировании правого печеночного протока. Следует отметить крайнюю лабильность правого латерального протока (чего нельзя сказать о других секторальных протоках). Он может участвовать в формировании общего печеночного протока (12 препаратов), впадать не только в общий печеночный проток (1 препарат), но и в левый (5 препаратов). При отсутствии правого латерального протока заменяющие его протоки 6-го и 7-го сегментов участвовали непосредственно в формировании правого печеночного или общего печеночного протоков или же впадали в них.

Кроме того, нами выявлено отклонение от секторального принципа строения: протоки 6-го и 7-го сегментов изолированно сливались с протоками правого парамедиального сектора.

Главный коллектор желчи из левой половины печени — левый печеночный проток обнаружен на 61 препарате. В 53 случаях он формировался при слиянии левых секторальных протоков, имея различную длину в зависимости от места их слияния (в левой продольной или поперечной бороздах), и в 8 — при слиянии общего желчного хода 3-го и 4-го сегментов с протоком 2-го сегмента.

Левый парамедиальный проток дренирует желчь из 4-го сегмента. Формируется он из желчных каналов, дренирующих желчь из дорзального, центрального и вентрального отделов квадратной доли. На 53 препаратах он принимал участие в формировании левого печеночного протока, на 12 — общего протока с 3-м сегментом, на 2 наблюдалась транспозиция его дистального отдела и одновременное каудальное смещение устья на общий печеночный проток.

Левый латернальный проток, дренирующий левую классическую долю, выявлен на 55 препаратах (формируется при слиянии протоков 2-го и 3-го сегментов). В 53 случаях он является корнем левого печеночного и в 2 — общего печеночного протоков.

Впадение протоков левого латерального сектора в систему желчных ходов правой половины печени мы не наблюдали.

Значительна вариабельность и в строении протоков хвостатой доли. Мы наблюдали от 2 до 4 желчевыводящих путей 1-го сегмента. Они либо впадали в левый и правый печеночные протоки, либо были исключительно правоориентированными, либо исключительно левоориентированными, либо участвовали в формировании общего печеночного протока и впадали в один из долевых протоков.

Анастомозов между сегментарными, секторальными и долевыми протоками мы не встретили.

На 12 из 67 препаратах зарегистрированы околопузырные протоки, располагающиеся внепаренхиматозно и идущие вдоль правого (10 препаратов) или левого края (2 препарата) ложа желчного пузыря. Они вливались или в проток 5-го сегмента, или в правый паремедиальный, или в правый печеночный протоки.

Измерение диаметра и длины желчных ходов на коррозионных слепках показало, что с возрастом в большей степени меняется их ширина (см. табл.).

### Количественная характеристика магистральных желчевыводящих протоков

Возрастные группы	Наименование печеночных протоков								
	общий			левый			правый		
	диаметр	длина	x	диаметр	длина	x	диаметр	длина	x
	м.м.	м.м.		м.м.	м.м.		м.м.	м.м.	
Новорожденные . . . .	1,13	8,1	0,138	0,96	6,6	0,145	0,82	4,4	0,188
Грудной возраст . . . .	1,72	10	0,166	1,29	8,8	0,148	1,30	5,2	0,250
10 мес.—3 года . . . .	2,95	12	0,243	2,29	10	0,225	1,82	6,0	0,303

x — отношение диаметра протока к его длине.

Во всех возрастных группах общий печеночный проток формировался или непосредственно в пределах поперечной борозды печени, или же в двенадцатиперстно-печеночной связке. Начало общего печеночного протока никогда не было погружено в паренхиму печени. В 24 наблюдениях исток общего печеночного протока располагался правее места деления воротной вены, в 21 — на уровне деления и в 22 — левее уровня деления.

Правый печеночный проток располагался на вентральной поверхности правой ветви воротной вены в 42 случаях, на краниальной — в 12, на дорзальной — в 13.

При формировании общего печеночного протока левее уровня деления воротной вены дистальный отдел правого печеночного протока находится или на вентральной,

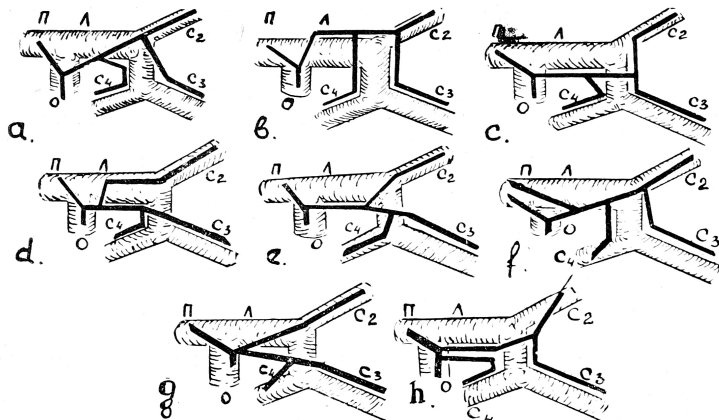


Рис. 2. Варианты взаимоотношения желчевыводящей системы левой половины печени и левой ветви воротной вены (схема).

О — общий печеночный проток и ствол воротной вены. П — правый печеночный проток и правая ветвь воротной вены, Л — левый печеночный проток и левая ветвь воротной вены, C<sub>2</sub> — ветви 2-го сегмента, C<sub>3</sub> — ветви 3-го сегмента, C<sub>4</sub> — ветви 4-го сегмента.

или на краиальной поверхности левой ветви воротной вены. Терминальный отдел правого печеночного протока, как правило, лежит внепаренхиматозно и прикрыт шейкой желчного пузыря.

Левый печеночный проток в поперечной борозде печени размещается внепаренхиматозно и снизу не перекрывает сосудами. Варианты взаимоотношения его и левой ветви воротной вены представлены на рис. 2.

## ЛИТЕРАТУРА

- Байров Г. А., Пугачев А. Г., Шапкина А. П. Хирургия печени и желчных путей у детей. Л., 1970.—2. Лебединец Н. Г. Внутрипеченочные желчные протоки человека и позвоночных животных. Автореф. канд. дисс., Харьков, 1963.—3. Сосновик И. И. Вестн. хир., 1960, 8.—4. Шапкина А. П. Тр. Ленингр. пед. мед. ин-та, 1967, 47.—5. Couinaud C. Le foie Etudes anatomiques et chirurgicales. Paris, 1957.

УДК 616—073.7

## К МЕТОДИКЕ ЭНТРОПИЙНОГО АНАЛИЗА ЭЭГ

Г. А. Аминев, Р. С. Чувашаев

Кафедра физиологии (зав.—проф. Л. Н. Зефиров) Казанского ордена Трудового Красного Знамени университета им. В. И. Ульянова-Ленина, кафедра социальной гигиены и организации здравоохранения (зав.—проф. М. Х. Вахитов) Казанского ордена Трудового Красного Знамени медицинского института им. С. В. Курашова

Одним из информативных показателей психофизиологического состояния является уровень асимметрии фаз основного ритма ЭЭГ [1, 2 и др.]. Этот показатель может быть рассчитан как математическое ожидание знака первой производной ЭЭГ

$$\Delta = \frac{n_+ - n_-}{n} = P_+ - P_- \quad (1)$$

где  $n_+$  и  $n_-$  — количество точек на ЭЭГ (при квантовании ее с шагом  $\Delta t$ ), в которых она возрастает и убывает,  $P_+$  и  $P_-$  — вероятности соответствующих точек.

Если  $P_+ = P_- = 0,5$ , то асимметрии нет. Это состояние наблюдается в покое. При изменении интенсивности нервной деятельности мозга начинается расхождение величин  $P_+$  и  $P_-$  [1]. Этот факт наводит на мысль, что для анализа ЭЭГ могут быть применены методы теории информации. Можно полагать, что когда тот или иной участок коры мозга находится в покойном состоянии, то соответствующие нейроны колеблются в режиме «холостого хода». Устанавливается регулярная ритмика, и ЭЭГ приобретает упорядоченный характер. В теории информации степень неупорядоченности измеряется энтропией  $H$ . Поэтому можно ожидать, что в покое энтропия должна быть близка к нулю. Как только анализируемый участок приходит в активное состояние, одни нейроны возбуждаются, другие затормаживаются, и суммарная ЭЭГ должна приобретать черты беспорядочности. Энтропия ее будет возрастать. Для определения энтропии  $H$  знака первой производной ЭЭГ можем воспользоваться классической формулой К. Шеннона [3]:

$$H = \lim_{n \rightarrow \infty} H_n = \lim_{n \rightarrow \infty} H(\alpha_1, \alpha_2, \dots, \alpha_n) = H(\alpha_1, \alpha_2, \dots, \alpha_{n-1}), \quad (2)$$

где  $H_n$  называется энтропией  $n$ -го порядка,  $\alpha_i$  — знак первой производной в  $i$ -й точке,  $H(\alpha_1, \alpha_2, \dots, \alpha_n)$  — энтропия знаков первой производной в  $n$  точках (безусловная энтропия). Энтропия, получаемая по формуле (2), измеряется в битах.

Чем больше величина  $H$ , тем более активен данный участок коры, и наоборот. Для проверки этого положения проводили следующий опыт. У испытуемого записывали ЭЭГ в фоне, в процессе счета от 1 до 10 и в процессе произнесения им случайных чисел. Оба задания связаны с деятельностью лобных отделов мозга, причем наиболее сложным является задание второе. Поэтому можно ожидать, что в процессе выполнения этих тестов ЭЭГ лобной области будет приобретать более беспорядочный характер, и энтропия ее должна быть больше.

Расчет энтропии проводили на ЭВМ М-222 (до 8-го порядка). Он полностью подтвердил указанные ожидания. В покое энтропия в переднелобном отведении равнялась 0,66, в процессе счета — 0,72, в процессе произнесения случайных чисел — 0,80 битам.

Изложенный метод обработки может быть применен для исследования функциональных сдвигов, проявляющихся в дизритмии корковых ритмов, а также для решения проблем локализации психофизиологических функций в норме и патологии.